

드레인 전류 잡음원만을 고려한 스케일링이 가능한 바이어스 의존 P-HEMT 잡음모델

정희원 윤경식*, 이창석**, 맹성재***, 이진희***, 박철순****

A Scalable Bias-dependent P-HEMT Noise Model with Single Drain Current Noise Source

Kyung-Sik Yoon*, Chang-Seok Lee**, Sung-Jae Maeng***, Jin-Hee Lee***,

Chul-Soon Park****, *Regular Members*

요약

게이트 길이가 $0.2\mu m$ 인 P-HEMT에 대하여 드레인 바이어스 전류의 변화 및 게이트 폭에 대해 스케일링이 가능한 잡음모델을 제안하였다. 본 논문에서는 S-파라미터를 정확히 예측하기 위하여 τ 를 제외한 intrinsic 파라미터는 offset를 도입하여 정규화 한 후 스케일링을 하였다. 드레인 포화전류에 대한 드레인 전류의 비율과 게이트 폭을 변수로 하는 소신호 모델 파라미터의 맞춤함수를 구하였다. 또한, 잡음 파라미터를 정확히 예측하기 위하여 진성저항 잡음 온도 T_g , 게이트 단 전류 잡음원 등가잡음 컨덕턴스 G_{ni} , 드레인 단 전류 잡음원 등가잡음 컨덕턴스 G_{no} 를 잡음 모델정수로 사용하여 그 값을 추출하여 스케일링 하였다. 잡음 온도 T_g 는 드레인 전류와 게이트 폭에 거의 관계없으며 이의 평균값은 주변온도와 유사한 값으로 G_{ni} 는 회로 특성에 영향을 미치지 않을 정도로 작은 값으로 추출되었다. 그러므로, G_{no} 만을 잡음 모델정수로 하는 잡음모델과 T_g , G_{ni} , G_{no} 를 잡음 모델정수로 하는 잡음모델을 측정값과 비교하여 본 결과 G_{no} 만을 갖는 잡음모델도 측정된 잡음 파라미터와 잘 일치하였다. 따라서, 모델 정수 추출이 간단한 G_{no} 만을 갖는 잡음모델은 게이트 폭과 바이어스 전류에 대해 스케일링이 가능한 실용적인 잡음모델임을 확인하였다.

ABSTRACT

Bias-dependent noise models of $0.2\mu m$ gate length P-HEMT's which are scalable with gate width are proposed. To predict S-parameters of the P-HEMT's the intrinsic parameters except for τ subtracted the offsets introduced in this paper are normalized to the gate width and then scaled. The small-signal model parameters are expressed as fitting functions of the drain current to I_{dss} ratio and gate width. In addition, to estimate accurately noise parameters the noise temperature T_g of the intrinsic resistance, the equivalent noise conductance G_{ni} of the gate current noise source, and the equivalent noise conductance G_{no} of the drain current noise source are adopted as the noise model parameters. The extracted values of T_g are nearly independent of drain current and gate width and their average is arou

* 고려대학교 전자 및 정보공학부 (ksyoon@tiger.korea.ac.kr), ** 대전산업대학교 정보통신공학과,

*** 한국전자통신연구원 회로소자기술연구소, **** 한국정보통신대학원대학교

논문번호 : 99103-0323, 접수일자 ; 1999년 3월 23일

※ 본 연구는 한국전자통신연구원과 한국학술진흥재단(대학부설연구소과제)의 연구비 지원에 의해 수행되었음.

around the ambient temperature. The extracted values of G_{ni} are small enough to be neglected to the circuit characteristics. From the comparison of the noise model with only G_{no} and that having T_g , G_{ni} , and G_{no} to the measured data it is found that even the former model is in good agreement with the measured noise parameters. Thus, from a practical point of view the noise model having only the drain current noise source is confirmed as a scalable bias-dependent noise model.

I. 서 론

초고주파 및 밀리미터파대 회로설계에서 주파수가 높아짐에 따라 회로의 성능은 능동소자에서 발생하는 잡음에 의해 많은 영향을 받게 된다. 그러므로 소자가 발생하는 잡음이 회로에 미치는 영향을 최소화 시키려면 회로설계에 사용할 정확한 잡음모델이 요구된다. 일반적으로 P-HEMT를 이용한 초고주파 집적회로(M-MIC) 설계에는 게이트 길이는 고정한 후 게이트 폭만을 스케일링하여 설계한다. 특히 LNB설계나 비선형 회로 설계시에는 드레인 전류와 게이트 폭에 대해 스케일링이 가능한 잡음모델이 필요하다.

그동안 대표적인 초고주파 소자인 GaAs MESFET 또는 GaAs/AlGaAs HEMT의 잡음모델에 대해 많은 연구가 이루어져왔다. 물리적 잡음모델은 소자의 구조 및 동작의 해석으로부터 도출되므로 소자 구조와 물성이 요구되며, 따라서 최소 잡음을 갖는 소자의 설계에는 매우 유용하지만 회로설계자가 사용하기는 불편하다. 이에 반해 경험적 잡음모델은 주파수를 변화시켜가며 측정한 S-파라미터와 잡음 파라미터(noise parameter)를 이용하여 주파수에 부관한 잡음 모델정수를 구하고 이를 이용하여 다른 주파수에서의 특성을 계산할 수 있도록 모델링하는 방법이다. 이 방법은 측정결과만이 요구되므로 회로설계자가 이용하기가 용이하며 측정하지 않은 주파수에서의 잡음 특성을 예측할 수 있는 장점이 있다. 그러나, 지금까지의 잡음 모델은 게이트 폭과 드레인 전류의 변화에 대한 잡음특성을 예측하여 회로설계에 사용하기에 모델정수의 추출과정이 복잡할 뿐 아니라 결과의 불일치로 한계가 있었다. 본 연구에서는 회로설계자가 회로설계에 쉽게 이용할 수 있도록 드레인 전류와 게이트 폭에 대해 스케일링이 가능한 실용적인 모델 생성방법을 제안하고자 한다.

본 연구에 사용된 능동소자는 한국전자통신연구원 회로소자기술연구소에서 제작한 20GHz대 LMDS

용으로 게이트 길이가 $0.2\mu m$ 이며 단위 게이트 폭(Unit Gate Width)은 $50\mu m$ 으로 게이트 가지수(Number of Gate Fingers)가 2, 4, 8로 총 게이트 폭이 각각 $100\mu m$, $200\mu m$, $400\mu m$ 인 P-HEMT이며 HP Network Analyzer 8510C와 ATN NP-5 잡음측정 시스템을 이용하여 드레인 전압 2V, 드레인 전류는 10%, 20%, 30%, 40%, 50%, 75%, 100% $Idss$ 에서 26~40GHz 범위의 S-파라미터와 잡음 파라미터를 측정하였다. 이들에서 게이트와 드레인 측정패드에 의한 기생 커패시턴스 C_{pg} 와 C_{pd} 는 각각 $20fF$ 로 기생 인덕턴스 L_{pg} 와 L_{pd} 는 각각 $30pH$ 로 세거(de-embedding)한 잡음 파라미터에서 게이트 폭과 드레인전류에 대해 스케일링이 가능한 잡음 모델정수를 추출하여 게이트 폭과 드레인 포화전류($Idss$)에 대한 드레인 전류의 비율을 함수로 하는 잡음모델을 상용 회로 시뮬레이터인 HP EEsof사의 Libra를 이용하여 구현하였다.

II. 스케일링이 가능한 소신호 등가회로 모델 파라미터 추출

최근에는 GaAs MESFET 및 HEMT의 한 바이어스점에서 잡음특성을 서로 상관관계가 없는 2개 또는 3개의 독립된 잡음원으로 모든 주파수의 측정 결과와 일치시킬 수 있는 잡음모델이 보고되었다 [1,2,3]. 그러나, 본 연구에서는 게이트 폭과 드레인 전류에 대해 스케일링이 가능한 경험적 잡음모델을 도출하기 위해 게이트단에 전압 잡음원은 전성저항 R_i 의 잡음온도 T_g 로 전류잡음원은 등가잡음 컨덕턴스 G_{ml} 로, 드레인단에 전류 잡음원은 등가잡음 컨덕턴스 G_{no} 로 모델링하였다[4]. 그럼 1은 잡음원을 포함한 소신호 등가회로를 나타내며 점선 사각형내의 L_{pg} 와 C_{pg} 는 게이트 측의 측정 패드에 의한 기생 인덕턴스와 기생 커패시턴스이며 L_{pd} 와 C_{pd} 는 드레인 측의 측정 패드에 의한 기생성분을 나타낸다.

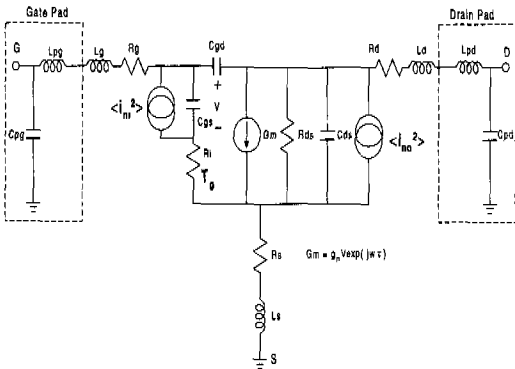
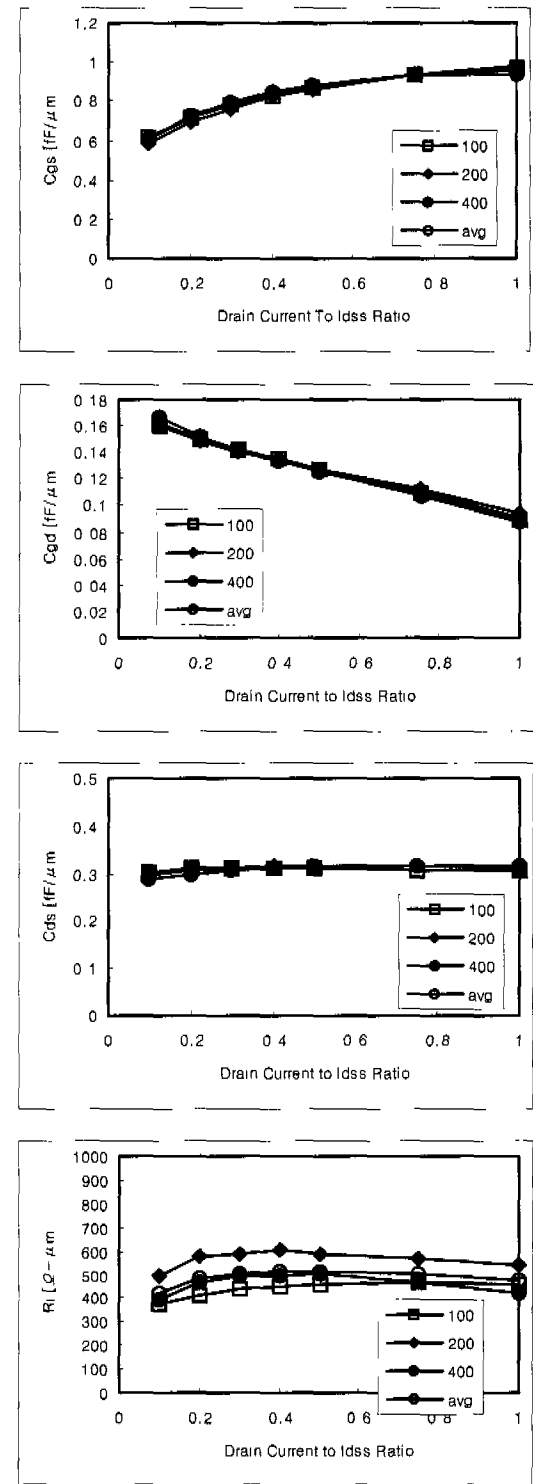


그림 1. 잡음원이 포함된 P-HEMT의 소신호 등가회로

게이트 폭과 드레인 전류에 대하여 스케일링이 가능한 잡음 모델정수 T_g , G_m , G_{no} 를 추출하기 위하여 HP8510C Network Analyzer와 ATN NP-5 잡음측정시스템을 이용하여 단위 게이트 폭이 $50\mu\text{m}$ 이고 게이트 가지수가 2, 4, 8 인, 즉 총 게이트 폭이 $100\mu\text{m}$, $200\mu\text{m}$, $400\mu\text{m}$ 인 P-HEMT에 대하여 드레인-소오스 전압 2V이고 드레인 전류는 10, 20, 30, 40, 50, 75, 100%의 I_{dss} 에서 26~40GHz의 주파수 구간에서 잡음 파라미터와 S-파라미터를 1GHz간격으로 측정하였다. 여기서 측정 패드의 영향을 제거하기 위해 잡음 파라미터와 S-파라미터에서 패드에 의한 기생 커패시턴스 C_{pg} 와 C_{pd} 는 각각 20fF 로 기생 인더턴스 L_{pg} 와 L_{pd} 를 각각 30pH 로 제거하였다. 기생성분이 제거된 S-파라미터로부터 참고문헌[5]의 3장에서 제안한 방법으로 소신호 등가회로 모델파라미터를 추출하였다. 드레인 전류를 변화시켜 추출한 소신호 파라미터중에서 intrinsic 파라미터의 게이트 폭에 대한 의존성을 살펴보니 게이트 폭에 정확하게 비례하기 보다는 어떤 offset 이 제거된 후에 게이트 폭에 비례함을 알 수 있었다. 따라서, 이 offset 값은 $100\mu\text{m}$, $200\mu\text{m}$, $400\mu\text{m}$ 의 intrinsic 파라미터에서 offset을 뺀 후에 게이트 폭으로 정규화 시킨 값들의 차이를 최소화 시키는 방법으로 간단히 구할 수 있다.

그림 2에서 기호 □는 게이트 폭이 $100\mu\text{m}$, 기호 ◆는 게이트 폭이 $200\mu\text{m}$, 기호 ●는 게이트 폭이 $400\mu\text{m}$ 인 P-HEMT의 10%, 20%, 30%, 40%, 50%, 75%, 100%의 I_{dss} 에서 추출한 intrinsic 파라미터에서 offset를 각각 제거후 게이트 폭으로 정규화 시킨 값을 보여주고 있다. 또한 기호 ○는 이들의 평균값을 의미한다. 그림에서 보는 바와 같이 매우 일관성 있는 파라미터가 추출되었다. 그러나 τ

경우는 게이트 폭에 대한 의존성을 보이지 않는 파라미터이므로 $100\mu\text{m}$, $200\mu\text{m}$, $400\mu\text{m}$ 의 단순평균을 취하였다.



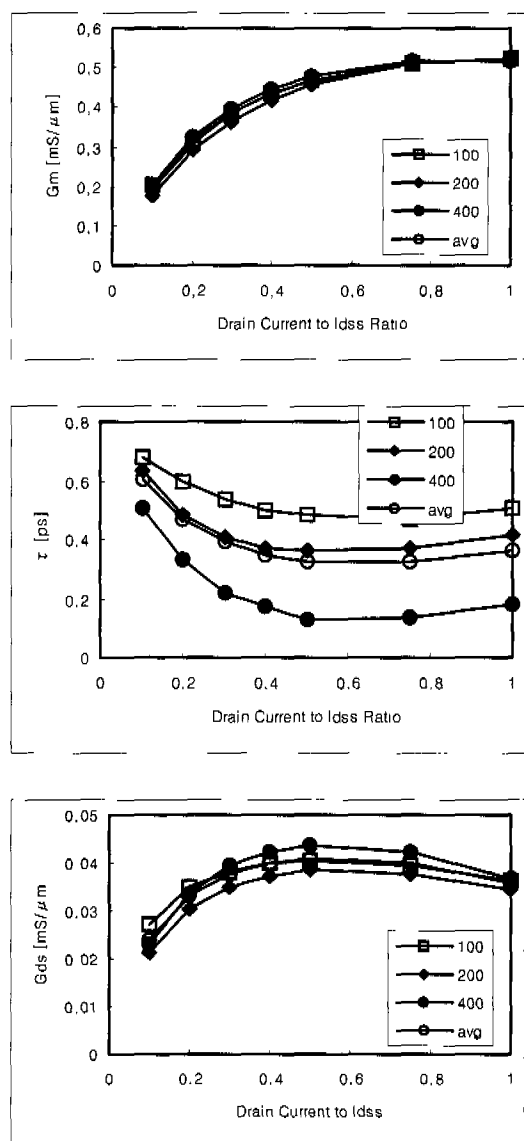


그림 2. $V_{ds}=2V$ 에서 드레인 전류에 대해 추출한 P-HEMT의 intrinsic 파라미터

추출된 intrinsic 파라미터를 드레인 바이어스 전류에 관한 식으로 나타내기 위하여 게이트 폭에 대하여 정규화 시킨 값들의 평균값을 드레인 포화전류에 대한 드레인 전류의 비율을 x 라 하여 x 의 다항식으로 근사시켰다. 일례로 intrinsic 파라미터중에서 C_{gs} 를 x 의 2차식으로 근사시킨 결과를 그림 3에 나타내었다.

또한, intrinsic 파라미터를 게이트 폭에 대해 스케일링이 가능한 식으로 표현하기 위해, 위에서 언

급한 바와 같이 τ 를 제외한 intrinsic 파라미터값들은 offset를 뺀 후 정규화 시켰으므로 게이트 폭을 곱한 후에 offset 만큼 더해 주어야 한다. 여기서 게이트 폭은 단위 게이트 폭에 게이트 가지수를 곱한 값이다.

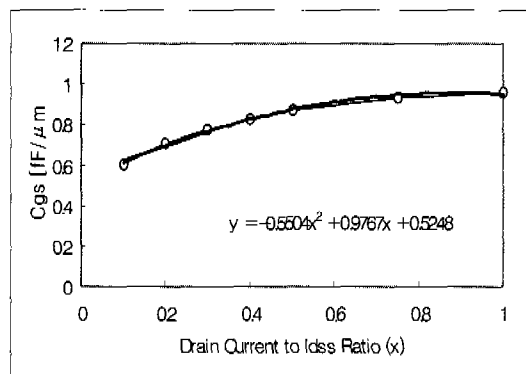


그림 3. 정규화시킨 C_{gs} 를 드레인 포화 전류에 대한 비율 x 의 2차식으로 근사

따라서, intrinsic 파라미터를 드레인 포화전류에 대한 드레인 전류의 비율(x)과 게이트 폭(UGW * NGF)을 변수로 하는 다항식으로 표현하면 표 1과 같은 맞춤함수를 얻었다. 그러나, τ 는 게이트 폭에 의존하지 않으므로 드레인 전류 비율만의 함수로 나타내었다.

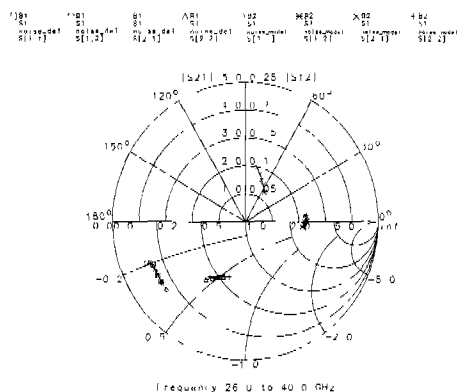


그림 4. 게이트 폭 $200\mu m$, 드레인 전류 50% $Idss$ 일 때 측정 S-파라미터와 모델값과의 비교

그리고 소신호 모델에서 extrinsic 파라미터는 바이어스에 무관하며 소오스단 직렬저항 R_s , 드레인

직렬저항 R_d 는 게이트 폭에 반비례한다. 또한, 게이트 저항 R_g 는 단위 게이트 폭에 비례하고 게이트 가지수에 반비례한다. 기생 인더터 성분 L_s , L_g , L_d 는 게이트 폭에 대한 의존성이 보이지 않아 이들의 단순 평균값을 취하였다.

표 1의 모델 방정식의 타당성을 검증하기 위해 $NGF = 4$ 로 게이트 폭이 $200\mu m$ 이고 드레인 전류는 드레인 포화전류의 50%인 경우, 즉 $x = 0.5$ 일 때 측정 S-파라미터와 모델 방정식으로부터 구한 S-파라미터를 그림 4에 비교하였다. 그림에서 보는 바와 같이 측정값과 모델값이 잘 일치함을 볼 수 있다.

III. 스케일링이 가능한 잡음 모델정수 추출

그림 1의 잡음원이 포함된 소신호 등가회로에서 잡음 모델정수 T_g , G_{ni} , G_{no} 를 추출하여 드레인 전류와 게이트 폭에 대해 스케일링이 가능한 잡음 모델을 도출하기 위해 $NGF=2, 4, 8$ 에 대해 10%, 20%, 30%, 40%, 50%, 75%, 100% I_{dss} 의 드레인 전류에서 잡음 파라미터를 측정하였다. 각각의 게이트 가지수에 대해 드레인 전류를 변화시켜 가며 측정한 잡음 파라미터에 잘 일치하도록 T_g , G_{ni} , G_{no} 의 최적값을 RF회로 시뮬레이터인 Libra의 최적화 기능을 이용하였다. 각각의 게이트 폭에 대하여 바이어스 전류를 변화시켜 가며 추출한 진성 저항 R_i 의 잡음온도 T_g 를 그림 5(a)에 도시하였다. 여기서, 기호 □는 게이트 폭이 $100\mu m$, 기호 ◆는 게이트

폭이 $200\mu m$, 기호 ●는 게이트폭이 $400\mu m$ 인 P-HEMT의 10%, 20%, 30%, 40%, 50%, 75%, 100% I_{dss} 의 드레인 전류에서 추출한 T_g 값들을 보여주고 있다. 또한 기호 ○는 이들의 평균값을 의미한다. 그러나 그림에서 보는 바와같이 게이트 잡음온도는 게이트 폭에 대한 의존성이 보이지 않으며 T_g 평균값을 드레인 바이어스 전류에 대해 x의 1차식으로 근사시켜 그림 5 (b)에 나타내었다.

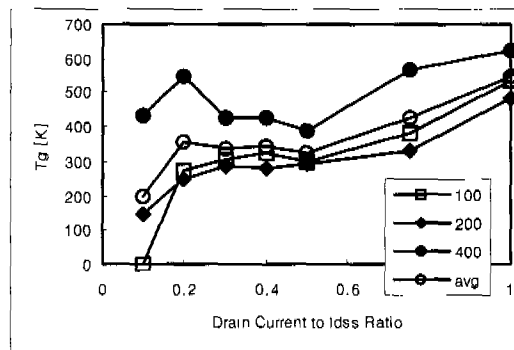
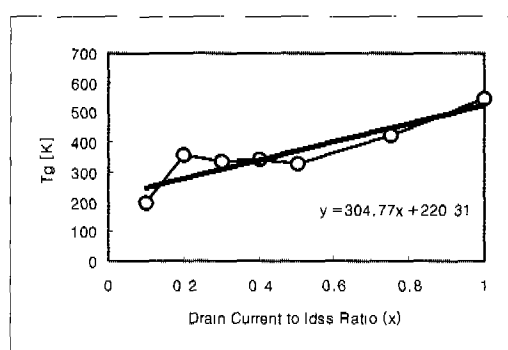
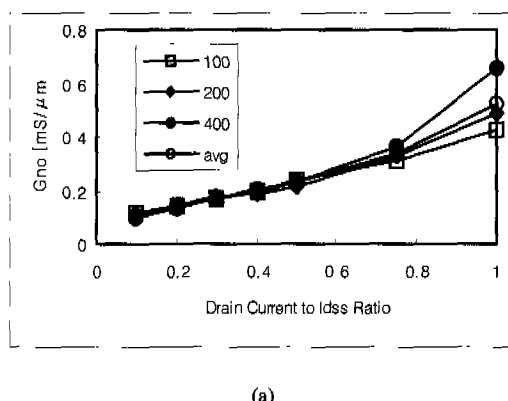


그림 5. (a) 잡음 온도 T_g

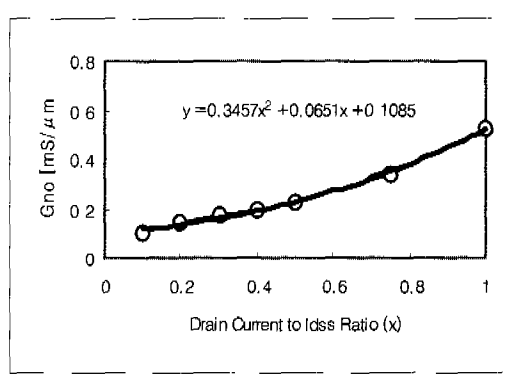
또한, 게이트 단 전류잡음원의 등가잡음 컨덕턴스 G_{ni} 는 매우 작은 값으로 추출되었으며 드레인 전류에 대한 의존성은 보이지 않고 평균값 $2.133 \times 10^{-7} mS/mm$ 을 중심으로 불규칙하게 분포되었다. 드레인 단 전류잡음원의 등가잡음 컨덕턴스 G_{no} 의 추출값을 그림 6(a)에 도시하였다.

표 1. 소신호 모델 파라미터를 드레인 전류비(x)와 게이트 폭(UGW*NGF)의 합수로 표현

Model Parameters		Model Equations
Intrinsic Parameters	$C_{gs}[fF]$	$(-0.5504x^2 + 0.9767x + 0.5248) * UGW * NGF + 18.7454$
	$C_{gd}[fF]$	$(-0.0771x + 0.1666) * UGW * NGF + 4.2982$
	$C_{ds}[fF]$	$(-0.0391x^2 + 0.0576x + 0.2951) * UGW * NGF + 4.0635$
	$R_i[\Omega]$	$(-354.97x^2 + 418.89x + 402.44) / (UGW * NGF) + 0.2695$
	$G_m[S]$	$10^{-3} / (0.365 / x + 1.4412) * UGW * NGF$
	$G_{ds}[S]$	$10^{-3} (-0.0578x^2 + 0.0735x + 0.0192) * UGW * NGF - 1.4846$
	$\tau [psec]$	$1 / (-4.6566x^2 + 6.2758x + 1.0821)$
Extrinsic Parameters	$R_s[\Omega]$	$52.915 / (UGW * NGF) + 0.493$
	$R_g[\Omega]$	$0.0619 * UGW / NGF - 0.2975$
	$R_d[\Omega]$	$674.55 / (UGW * NGF) + 0.0415$
	$L_s[pH]$	2.09
	$L_g[pH]$	14.86
	$L_d[pH]$	13.69

그림 5. (b) T_g 에 대한 x의 1차식

(a)

그림 6. (a) 등가잡음 챔터턴스 G_{no} 와 (b) G_{no} 에 대한 x의 2차식

여기서, 기호 □는 게이트 폭이 $100\mu\text{m}$, 기호 ◆는 게이트 폭이 $200\mu\text{m}$, 기호 ●는 게이트 폭이 $400\mu\text{m}$ 인 P-HEMT의 10%, 20%, 30%, 40%, 50%, 75%, 100% I_{dss} 의 드레인 전류에서 추출한 G_{no} 를 게이트 폭으로 정규화 시킨 값으로 보여주고 있다. 또한 기호 ○는 이들의 평균값을 의미한다. 그림

6(b)에서 보는 바와 G_{no} 의 평균값은 x의 2차식으로 근사시켰다.

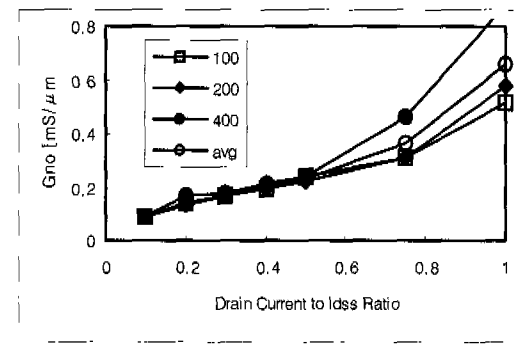
따라서 추출된 잡음 모델정수 T_g , G_{ni} , G_{no} 를 드레인 포화전류에 대한 드레인 전류의 비율 x와 게이트 폭의 함수로 표현하면 표 2와 같다.

표 2. 잡음 모델 파라미터를 드레인 전류비(x)와 게이트 폭(UGW*NGF)의 함수로 표현

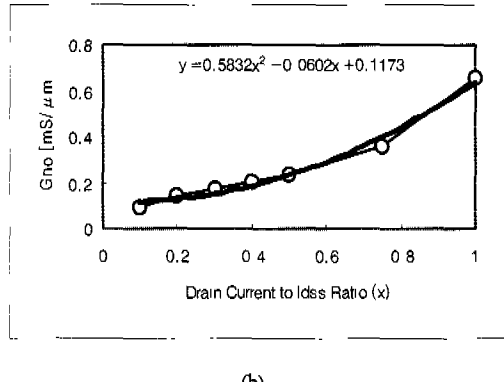
Noise Model Parameters	Model Equations
$T_g[\text{K}]$	$304.77x + 220.31$
$G_{ni}[\text{mS}]$	$2.1333 * 10^{-7} * \text{UGW} * \text{NGF}$
$G_{no}[\text{mS}]$	$(0.3457x^2 + 0.0651x + 0.1085) * \text{UGW} * \text{NGF}$

잡음 모델 정수 중에서 전체 회로의 잡음 파라미터에 영향이 작은 부분을 생략하면 잡음모델을 더욱 간단하게 할 수 있다. 그림 5(b)을 살펴보면 $x=0.1(10\% I_{dss})$ 과 $x=1(100\% I_{dss})$ 를 제외하면 T_g 의 x에 대한 의존성이 작으므로 이들의 단순 평균값을 구해보면 358K이며 G_{ni} 는 무시할 수 있을 정도로 작으므로 무시할 수 있다. 따라서, T_g 를 300K로 가정하고 $G_{ni} = 0$ 이라 가정하여 각각의 크기와 바이어스에서 측정한 잡음 파라미터에 잘 맞추는 G_{no} 만을 다시 추출하면 바이어스전류의 변화와 게이트 폭에 대해 스케일링이 가능한 잡음 모델의 구현이 더욱 쉬워진다. Libra를 이용하여 구한 G_{no} 는 그림 7(a)와 같으며 이의 맞춤함수는 그림 7(b)에 표현하였으며 다음과 같은 x의 2차식으로 주어진다.

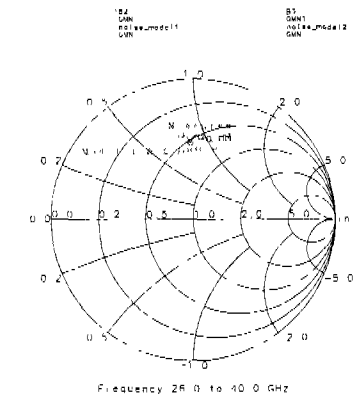
$$G_{no} = (0.5832x^2 - 0.0602x + 0.1173) * \text{UGW} * \text{NGF}$$



(a)



(b)

그림 7. (a) 동기잡음 컨덕턴스 G_{no} 와 (b) G_{no} 에 대한 x의 2차식 ($T_g=300K$, $G_{ni}=0\Omega$)라 가정)

(b) Gamma Opt

그림 8. NGF=2, $V_{ds}=2V$, 30% I_{ds} 일 때 잡음모델과 측정 잡음 파라미터 비교

IV. 측정 잡음 파라미터와 잡음 모델 비교

본 논문에서 제안한 잡음 모델의 타당성을 검증하기 위해 게이트 폭이 $100\mu m$ (NGF=2)인 경우 드레인이 전압 2V일 때 30% I_{ds} 의 드레인 전류에서 26~40GHz 범위에서 측정한 잡음지수(NF_{min})와 잡음 저항(R_n)을 그림 8(a)에 입력단 최적 반사계수 Γ_{opt} 은 그림 8(b)에 각각의 모델값과 비교하였다. 게이트 폭이 $400\mu m$ (NGF=8)인 경우 75% I_{ds} 의 드레인 전류에서 26~40GHz 범위에서 측정한 잡음지수(NF_{min})와 잡음저항을 그림 9(a)에 Γ_{opt} 은 그림 9(b)에 모델값과 비교하였다. 그림 8과 9에서 model-1은 잡음 모델정수 T_g , G_{ni} , G_{no} 를 포함하는 경우이며 model-2는 G_{no} 만을 갖는 모델이다.

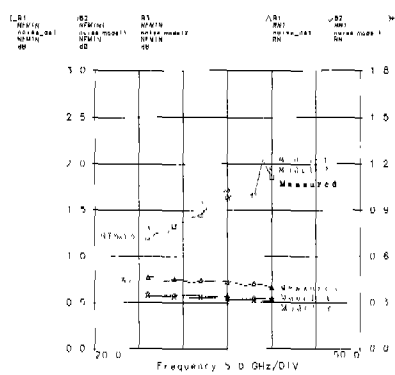
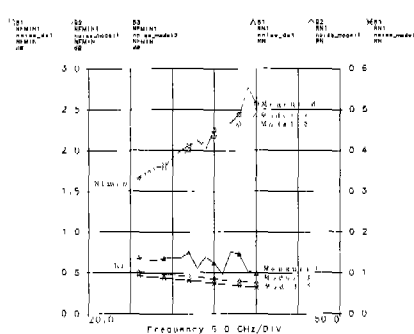
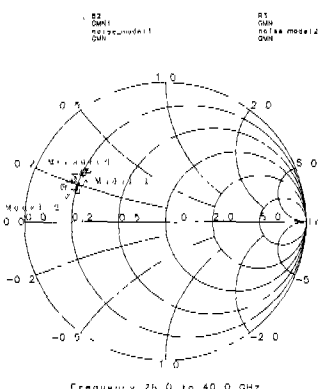
(a) F_{min} 과 R_n (a) F_{min} 과 R_n (b) Γ_{opt} 그림 9. NGF=8, $V_{ds}=2V$, 75% I_{ds} 일 때 잡음모델과 측정 잡음 파라미터 비교

그림 8과 9에서 보는 바와 같이 model-1과 model-2의 차이가 무시할 정도이며, 잡음모델로 계산한 결과와 측정결과가 잘 일치함을 알 수 있다. 따라서 본 논문에서 사용한 P-HEMT의 경우에는 하나의 잡음 모델정수 G_{no} 만을 사용하여 잡음 파라미터의 주파수 특성 뿐 아니라 드레인 전류 및 게이트 폭의 변화에 따른 잡음 파라미터 특성을 예측할 수 있음을 알 수 있다.

V. 결론

드레인 바이어스 전류의 변화 및 게이트 폭에 대해 스케일링이 가능한 잡음모델을 생성하기 위해 게이트 길이가 $0.2\mu m$ 이며 단위 게이트 폭이 $50\mu m$ 으로 게이트 가지수가 2, 4, 8로 총 게이트 폭이 각각 $100\mu m$, $200\mu m$, $400\mu m$ P-HEMT를 드레인 전압 2V에서 10%, 20%, 30%, 40%, 50%, 75%, 100% I_{diss} 의 드레인 전류에서 26~40GHz 범위의 S-파라미터와 잡음 파라미터를 측정하였다. 각 바이어스에서 측정된 S-파라미터로부터 추출한 소신호 파라미터중에서 intrinsic 파라미터의 게이트 폭에 대한 의존성은 일반적으로 알려져 있는 바와 달리 게이트 폭에 단순 비례 또는 반비례하는 관계를 사용하기보다는 offset를 고려함으로써 측정 값과 잘 일치시킬 수 있음을 알 수 있었다. 그러므로, intrinsic 파라미터는 게이트 폭에 대해 스케일링이 가능한 식으로 표현하기 위해, τ 를 제외한 intrinsic 파라미터값들은 offset를 뺀 후 정규화 시켰으므로 게이트 폭을 곱한 후에 offset 만큼 더해 주어 소신호 파라미터를 게이트 폭과 드레인 포화전류에 대한 드레인 전류의 비율 x 의 변수로 하는 맞춤함수를 구하였다.

회로 시뮬레이터 Libra의 최적화 기능을 이용하여 측정된 잡음 파라미터를 fitting시키는 잡음 모델 정수 T_g , G_{ni} , G_{no} 를 추출하여 게이트 폭과 x 의 함수로 잡음모델을 도출하였다. 진성저항 잡음 온도 T_g 는 드레인 전류와 게이트 폭에 관계없이 주변온도와 유사한 값의 상수로 볼 수 있으며 게이트 단전류 잡음원 등가잡음 친덕턴스 G_{ni} 는 회로 특성에 영향을 미치지 않을 정도의 작은 값이다. 그러므로, G_{no} 만을 잡음 모델정수로 하는 잡음모델과 T_g , G_{ni} , G_{no} 를 잡음 모델정수로 하는 잡음모델을 비교하여 본 결과 G_{no} 만을 갖는 잡음모델도 세개의 잡음원을 포함하는 모델만큼 측정 잡음 파라미터와 잘 일치함을 보여주었다. 따라서, 잡음모델 도출이 간단한

드레인 전류 잡음원의 등가잡음 친덕턴스 G_{no} 만을 갖는 잡음모델을 게이트 폭과 바이어스 전류에 대해 스케일링이 가능한 실용적인 P-HEMT의 잡음모델로 제안하였다. 또한, 본 잡음모델은 측정된 S-파라미터와 잡음 파라미터의 맞춤 함수로부터 생성되므로 P-HEMT 소자구조나 공정에는 부관할 것으로 판단된다.

참고문헌

- [1] M.W. Pospieszalski, "Modeling of noise parameter of MESFETs and MODFETs and their frequency and temperature dependence", IEEE Trans. Microwave Theory Tech. vol.37, no.9, pp. 1340-1350, Sept. 1989.
- [2] A. Cappy, "Noise modeling and measurement techniques", IEEE Trans. Micro-wave Theory Tech., vol.36, no.1, pp.1-10, Jan. 1988.
- [3] R. Reuter, S. Van Waasen, F.J. Tegude, "A new noise model of HFET with special emphasis on gate-leakage", IEEE Trans. Electron Device Letters, vol.16, no.2, pp.74-76, Feb. 1995.
- [4] 안상현, 윤경식, 이창석, 맹성재, 이진희, 박철순, "IMD 특성을 고려한 LMDS용 저잡음 중폭기 MMIC 설계", 한국통신학회 1998년도 추계 종합학술대회 논문집(하), pp.1391-1394, 1998.
- [5] 윤경식, "고주파 소자 모델링에 관한 연구", 고려대학교, 1998.

윤경식(Kyung-Sik Yoon)

정회원



1971년 2월 : 서울대학교 공과대학 졸업

1977년 7월 : Louis Pasteur de Strasbourg대학 D.E.A.

1988년 8월 : Utah대학교 전자공학과 박사

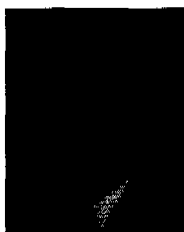
1978년 5월~1982년 9월 : 한국 해양연구소 해양기기실 실장

1988년 9월~현재 : 고려대학교 전자 및 정보공학부 교수

<주관심 분야> 반도체소자 모델링, 초고주파회로 설계

1985년 2월 ~ 1999년 1월 : 한국전자통신연구원 책임 연구원

이 창석(Chang-Seok Lee) 정회원



부교수 <주관심 분야> 초고주파집적회로

1986년 2월 ~ 1998년 3월 : 한국전자통신연구원 책
입연구원

1998년 4월~현재 : 대전산업대학교 정보통신공학
과 조교수

1999년 7월~현재 : (주)rfss 기술이사 겸임

<주관심 분야> 고주파 집적회로 설계

맹성재(Sung-Jae Maeng) 정회원

1984년 2월 : 서울대학교 무기 재료 공학과 졸업

1986년 2월 : 한국과학기술원 재료공학과 석사

1996년 2월 : 한국과학기술원 재료공학과 박사

1986년 2월 ~현재 : 한국전자통신연구원 선임연구원

<주관식 분야> MMIC 설계 및 제작

이 진희(Jin-Hee Lee) 정희원

1980년 2월 : 영남대학교 물리학과 졸업

1982년 2월 : 영남대학교 물리학과 석사

1987년 2월 : 영남대학교 물리학과 박사

1984년 7월 ~현재 : 한국전자통신연구원 책임연구원

<주관심 분야> HEMT 소자 제작, MMIC 공정 및 설계

박 철 순(Chul Soon Park, 朴喆淳) 정회원



1980년 2월 : 서울대학교
금속공학과 졸업

1982년 2월 : 한국과학기술원
재료공학과 석사

1985년 2월 : 한국과학기술원
재료공학과 박사